

Evaluation of genetic diversity of *Alhagi maurorum* ecotypes using ISSR and SCoT markers in Razavi, Northern and Southern Khorasan provinces

Mohammad Zabet 

*Corresponding author. Associate professor, Department of Agronomy and Plant Breeding, Faculty of Agriculture, University of Birjand, Birjand, Iran. E-mail address: mzabet@birjand.ac.ir

Samane Pishghadam

MSc Student of plant breeding, Department of Agronomy and Plant Breeding, Faculty of Agriculture, University of Birjand, Birjand, Iran. E-mail address: Smn.pishghadam@birjand.ac.ir

Zohre Alizadeh

Assistant Professor, Department of Agronomy and Plant Breeding, Faculty of Agriculture, University of Birjand, Birjand, Iran. E-mail address: zoalizadeh@birjand.ac.ir

Abstract

Objective

The camelthorn (*Alhagi maurorum*) is one of the compatible plant species with arid and semi-arid regions that is important for forage production, soil protection and medicine. This research was carried out in order to investigate the genetic diversity of camelthorn ecotypes, to determine the similarities and differences between ecotypes and to recognize the genetic structure of different camelthorn ecotypes using ISSR and SCoT markers.

Materials and methods

The 22 ecotypes from different regions of North, Razavi and South Khorasan provinces were studied. The DNA was extracted by the CTAB method. The 12 ISSR and 18 SCoT primers were used in the molecular analysis.

Results

The polymorphism percentages in the two markers were 99.42% and 95.42%, respectively. In the ISSR and SCoT markers, the IS5, IS8, IS10 and S2, S4, S6, S7, and S10 primers amplified the highest number of bands, respectively, and the IS1, IS2, IS3, IS6 and S1 amplified the lowest bands, respectively. In the ISSR and SCoT markers, the IS6 (0.44) and S12 (0.44) primers had

the highest PIC value, respectively, and the IS4 (0.09) and S1(0.04) primers had the lowest PIC value. In the ISSR marker, the IS6 primer had the highest and the IS2, and IS10 primers had the lowest Nei genetic diversity index and Shannon information index, respectively. In the SCoT marker, the S14 primer had the highest, and the S1 primer had the lowest Nei genetic diversity index and Shannon information index, respectively. The cluster analysis classified the ecotypes into three groups. The molecular analysis of variance showed that the 9%, 14% and 91%, 86% of the total genetic variation were related to the within and between groups in ISSR and SCoT markers, respectively.

Conclusions

This study demonstrated the accuracy of the ISSR and SCoT markers in identifying high levels of polymorphism and was appropriate for investigating the genetic diversity amongst camelthorn ecotypes. The IS6 and S12, and S14 primers were recognized as the best primers in this study, and it is suggested that these primers be considered in future studies. In total, the results showed that the diversity within populations was higher than the diversity between populations, which indicates that the geographical distribution does not follow of genetic diversity in the camelthorn plant.

Keywords: Cluster analysis, Molecular Index, Nei and Shannon Indices, Polymorphism

Paper Type: Research Paper.

Citation: Zabet M, Pishghadam S, Alizadeh Z (2023) Evaluation of genetic diversity of *Alhagi maurorum* ecotypes using ISSR and SCoT markers in Razavi, Northern and Southern Khorasan provinces *Agricultural Biotechnology Journal* 15 (1), 81-106.

Agricultural Biotechnology Journal 15 (1), 81-106. DOI: 10.22103/jab.2022.18997.1383

Received: November 20, 2022.

Received in revised form: December 28, 2022.

Accepted: December 29, 2022.

Published online: February 18, 2023.

Publisher: Faculty of Agriculture and Technology Institute of Plant



Production, Shahid Bahonar University of Kerman-Iranian Biotechnology Society.

© the authors

ارزیابی تنوع ژنتیکی اکوتیپ‌های خارشتر در سه استان خراسان شمالی، رضوی و جنوبی با استفاده از نشانگرهای ISSR و SCoT

محمد ضابطه 

*نویسنده مسئول: دانشیار، گروه زراعت و اصلاح نباتات، دانشکده کشاورزی، دانشگاه بیرجند، بیرجند، ایران. رایانامه:

mzabet@birjand.ac.ir

سمانه پیش قدم

دانشجوی اسبق کارشناسی ارشد اصلاح نباتات، گروه زراعت و اصلاح نباتات، دانشکده کشاورزی، دانشگاه بیرجند، بیرجند، ایران.

رایانامه: Smn.pishghadam@birjand.ac.ir

زهرا علیزاده

استادیار، گروه زراعت و اصلاح نباتات، دانشکده کشاورزی، دانشگاه بیرجند، بیرجند، ایران. رایانامه:

zoalizadeh@birjand.ac.ir

تاریخ دریافت: ۱۴۰۱/۰۸/۲۹ تاریخ دریافت فایل اصلاح شده نهایی: ۱۴۰۱/۱۰/۰۷ تاریخ پذیرش: ۱۴۰۱/۱۰/۰۸

چکیده

هدف: خارشتر یکی از گونه‌های گیاهی سازگار با مناطق خشک و نیمه خشک است که از لحاظ تولید علوفه، حفاظت خاک و دارویی اهمیت دارد. این تحقیق به منظور بررسی تنوع ژنتیکی اکوتیپ‌های خارشتر، تعیین شباهت و تفاوت بین اکوتیپ‌ها و مشخص نمودن ساختار ژنتیکی اکوتیپ‌های مختلف خارشتر با استفاده از نشانگرهای ISSR و SCoT صورت گرفت.

مواد و روش‌ها: ۲۲ اکوتیپ خارشتر از نواحی مختلف سه استان خراسان شمالی، رضوی و جنوبی مورد مطالعه قرار گرفت.

استخراج DNA به روش CTAB صورت گرفت. از ۱۲ آغازگر ISSR و ۱۸ آغازگر SCoT در تجزیه‌های مولکولی استفاده شد.

نتایج: در کل درصد چندشکلی در دو نشانگر به ترتیب ۹۹/۴۲ و ۹۵/۴۲ درصد بود. بیشترین تعداد باند در نشانگر ISSR متعلق به

آغازگرهای IS5، IS8 و IS10 و در نشانگر SCoT متعلق به آغازگرهای S2، S4، S6، S7 و S10 و کمترین تعداد باند تکثیر

شده در نشانگر ISSR متعلق به آغازگرهای IS1، IS2، IS3 و IS6 و در نشانگر SCoT متعلق به آغازگر S1 بود. در نشانگر

ISSR بیشترین میزان PIC محتوای اطلاعات چندشکلی مربوط به آغازگر IS6 (۰/۴۴) و کمترین میزان مربوط به آغازگر IS4

(۰/۰۹) و در نشانگر SCoT بیشترین میزان مربوط به آغازگر S12 (۰/۴۴) و کمترین میزان مربوط به آغازگر S1 (۰/۰۴) بود. در نشانگر ISSR بیشترین شاخص تنوع ژنتیکی نی و شاخص اطلاعاتی شانون مربوط به آغازگر IS6 و کمترین آن مربوط به آغازگر IS2 و IS10 و در نشانگر SCoT بیشترین مقدار مربوط به آغازگر S14 و کمترین مقدار مربوط به آغازگر S1 بود. در نشانگرهای ISSR و SCoT تجزیه خوشه‌ای اکوتیپ‌ها را در ۳ و ۶ گروه دسته‌بندی نمود. تجزیه واریانس مولکولی نشان داد که ۹ و ۱۴ درصد از تغییرات مربوط به بین گروه‌ها و ۹۱ و ۸۶ درصد به درون گروه‌ها به ترتیب در نشانگر ISSR و SCoT بود.

نتیجه‌گیری: این مطالعه نشان داد که نشانگرهای ISSR و SCoT نشانگرهای قابل اعتمادی در شناسایی سطوح بالایی از چندشکلی و برای بررسی تنوع ژنتیکی خارشتر نشانگرهای مناسبی بودند. آغازگر IS6 و آغازگرهای S12 و S14 به عنوان بهترین آغازگرها در این مطالعه شناخته شدند و پیشنهاد می‌شود در مطالعات آتی مد نظر قرار گیرند. به طور کل نتایج نشان داد که تنوع درون جمعیت‌ها بیشتر از تنوع بین جمعیت‌ها بوده که دلالت بر عدم تبعیت تنوع جغرافیایی از تنوع ژنتیکی در گیاه خارشتر می‌باشد.

کلیدواژه‌ها: تجزیه خوشه‌ای، چندشکلی، شاخص مولکولی، شاخص نی و شانون

نوع مقاله: پژوهشی.

استناد: ضابط محمد، پیش قدم سمانه، علیزاده زهره (۱۴۰۲) ارزیابی تنوع ژنتیکی اکوتیپ‌های خارشتر در سه استان خراسان شمالی، رضوی و جنوبی با استفاده از نشانگرهای ISSR و SCoT. *مجله بیوتکنولوژی کشاورزی*، ۱۵(۱)، ۸۱-۱۰۶.

Publisher: Faculty of Agriculture and Technology Institute of Plant Production, Shahid Bahonar University of Kerman-Iranian Biotechnology Society.



© the authors

مقدمه

خارشتر با نام علمی *Alhagi maurorum* متعلق به خانواده نیام‌داران^۱ است (Adnaei et al. 2013). خارشتر گیاهی چند ساله و پایا است. فرم رویشی آن به صورت بوته‌ای، نیمه درختچه‌ای و نیمه چوبی است. ارتفاع آن بین ۵۰ تا ۸۰ سانتی متر، ساقه سبز رنگ، منشعب و دارای خار، برگ‌ها ساده، به تعداد کم، متناوب، کامل، مستطیلی یا تخم‌مرغی شکل است (Zargari 1996). خارشتر را در خاک‌های خشک، صخره‌ای و نمکی می‌توان یافت (Hassanein & Mazen 2001). به دلیل پوست سخت دانه و وزن ۱۰۰۰ دانه زیاد براحتی توسط بذر تکثیر و گسترش نمی‌یابند و بیشتر از طریق تکثیر رویش - سی گس - ترش م - سی یاب - مد (Barati et al. 2006; Zargari 1996). نوعی زنجبرک با نام علمی نام پوفیلوس نبولوس^۲ با فرو کردن خرطوم

¹. Fabaceae

². *Poophilus nebulosus* Leth

خود در داخل کیسه‌های ترش‌خی گیاه و تغذیه کردن از آن مان یا ترنجبین را بر روی برگ گیاه ترشح می‌کند (Yaghmaei and Karimpour 2008). خارشتر یکی از فراورده‌های مورد مصرف در داروسازی و طب سنتی است و امکان صادرات آن به خارج کشور وجود دارد (Barati et al. 2006). به‌نژادی گیاهان بر پایه ایجاد تنوع و گزینش ژنوتیپ مطلوب استوار است. داشتن تنوع یکی از ابزارهای اولیه در به‌نژادی گیاهان است (Bagheri et al. 2012). اولین قدم در اصلاح خصوصیات گیاهی، شناخت خصوصیات ژنتیکی نمونه‌های موجود در خزانه ژنی است (Mohammadi 2006). به منظور حفظ، ارزیابی و استفاده از خزانه ژنی کارآمد و موثر برای بازده و ایجاد ثبات تولید در هنگام مواجهه با تنش‌های محیطی و شیوع بیماری‌ها نیاز به بررسی میزان تنوع ژنتیکی با استفاده از نشانگرهای مورفولوژیکی/ژنتیکی می‌باشد (Gept 1993).

نشانگر مولکولی^۳ SCoT یا کدون‌های آغاز مورد هدف، بر اساس توالی‌های آغاز (ATG) طراحی می‌شوند و نواحی بین کدون‌های آغاز طی واکنش زنجیره‌ای پلیمرز تکثیر و تفاوت‌ها آشکار می‌شود. آغازگرهای SCoT معمولاً ۲۴-۱۸ نوکلئوتیدی هستند و محتوای C و G آنها ۵۰ تا ۷۲ درصد است (Kalendar 2007). سیستم این نشانگر غالب بوده، آغازگر تک رشته‌ای به رشته‌های مخالف DNA الگو، در جهت عکس هم متصل می‌شوند و فاصله بین آنها تکثیر می‌شود. اگر جهش‌های حذف یا اضافه در محل اتصال آغازگر رخ دهد، شاهد عدم اتصال آغازگر و عدم سنتز قطعه DNA خواهیم بود (Davis et al. 1995). نشانگرهای SCoT در مقایسه با ISSR و RAPD از تکرارپذیری بیشتری برخوردارند و عقیده بر این است که طول و دمای اتصال آغازگرها تنها عواملی نیستند که در تکرارپذیری الگوی باندبندی آنها نقش دارند. از مزایای این نشانگر می‌توان به آسان بودن و کم هزینه بودن، چند شکلی بالا، آشکار سازی اطلاعات ژنتیکی وسیع و فراگیر بودن آغازگرهای آن در ژنوم گیاهان اشاره کرد، افزون بر این، در طراحی آغازگرهای این نشانگر به اطلاع از توالی نوکلئوتیدی ژنوم نیاز نیست (Collard & Mackill 2009). این نشانگرها علاوه بر گیاهان در دامنه وسیعی از جانوران، از جمله گاو، گوسفند، بز، ماهی و زنبور عسل برای تعیین تنوع ژنتیکی مورد استفاده قرار گرفته است (Askari et al. 2010; Ghasemi et al. 2010; Askari et al. 2011; Zamani et al. 2011; Mohammadabadi and Askari, 2012; Bahador et al. 2016; Mohammadabadi et al. 2017; Mohammadabadi et al. 2021). به طور کل مطالعات اندکی در زمینه خارشتر و تنوع ژنتیکی آن صورت گرفته است، لذا در ذیل به مطالعات مشابه در گیاهان دیگر اشاره می‌گردد. مطالعه جمعیت‌های مختلف گونه‌های *A. pseudoalhari* و *A. graecorum* خارشتر از نظر رفتار میوزی نشان داد که تعداد کروموزوم‌ها در همه گونه‌ها $2n=2x=16$ بود. جمعیت‌های مورد مطالعه رفتار میوزی منظمی نشان دادند و ناهنجاری‌هایی مانند پل آنافازی در آنافاز I، چسبندگی در متافاز I، کروموزوم‌های سرگردان در متافاز I و آنافاز I، وجود بی‌والنت حلقه‌ای و میله‌ای، یونی‌والنت، کوادری‌والنت و تری‌پلار مشاهده شد که چنین تغییرات ساختاری در کروموزوم‌ها باعث افزایش تنوع ژنتیکی شده و سازگاری با شرایط محیطی را می‌تواند افزایش دهد (Ebrahimpour Norabadi 2012). مطالعه دو گونه *A. graecorum* و *pseudalhari* از

³. Start codon targeted

نظر کاربوتیپی و پروتئین‌های ذخیره‌ای، وجود اختلاف در شکل و اندازه کروموزوم‌ها و نیز رفتار کروموزوم‌ها در مراحل مختلف تقسیم میوز بویژه تشکیل کیاسما را نشان داد که می‌تواند بیانگر اختلاف ژنتیکی باشد که در نهایت منجر به درک و فهم بهتر فرآیندهایی است که باعث تکامل و تنوع ژنتیکی در این گیاه شده است (Sheidai & Rashid 2007). به منظور تمایز گونه‌ها و تعیین ساختار جمعیتی گونه‌های خارشتر از هشت آغازگر ISSR برای غربال‌گری ۲۲ جمعیت شامل ۱۱۰ ژنوتیپ استفاده شد. تجزیه به مختصات اصلی و تجزیه خوشه‌ای به وضوح همه جمعیت‌های خارشتر در ایران را به دو گونه *A. pseudalhari* و *A. maurorum* متمایز نمودند. تجزیه و تحلیل‌های بیشتر، تفاوت مولکولی قابل توجهی را بین جمعیت‌های مورد مطالعه نشان داد. از کل تنوع مشاهده شده میزان زیادی از تنوع مربوط به بین جمعیت‌ها بود (۷۹ درصد مربوط به بین جمعیت‌ها و ۲۱ درصد مربوط به درون جمعیت‌ها بود) که نشان‌دهنده تبادلات ژنتیکی مکرر بین جمعیت‌های مورد مطالعه بود. در این مطالعه تنوع ژنتیکی از تنوع جغرافیایی تبعیت نداشت (Amirkhosravi et al. 2021).

در بررسی تنوع ژنتیکی گون سفید با استفاده از نشانگر ISSR دو آغازگر انتخاب شده ۴۰ جایگاه چند شکلی نشان دادند. در تجزیه واریانس مولکولی، ۸۸/۶۹ درصد از تغییرات به تنوع در جمعیت نسبت داده شد. جریان ژنی بالا (۳/۹۳-۳/۹۱) و درصد انحراف کم از تعادل هاردی واینبرگ به دلیل تقسیم جمعیت مشاهده شد. این نتایج نشان داد که تهدیدهای فعلی تخریب مراتع هنوز بر تنوع ژنتیکی این گونه تأثیری نداشته است (Andrew et al. 2004). ارزیابی سی و سه توده یونجه با استفاده از نشانگر ISSR نشان داد که با وجود شباهت بسیار زیاد بین دو جمعیت مرکز و شرق ایران از نظر ساختار ژنتیکی تنوع بسیار بالایی بین افراد وجود دارد (Rezaie et al. 2011). به منظور بررسی تنوع فنوتیپی و مولکولی رازیانه (Farshadfar et al. 2017) ۱۶ اسکشن را مورد ارزیابی قرار دادند. آغازگرهای SCoT در مجموع ۵۵ باند تولید کردند و آغازگرهای SC5 و SC29 بیشترین تعداد نوار (۹ و ۱۰) را تولید کردند. شاخص محتوای اطلاعات چند شکلی ۰/۳۶، شاخص نشانگری ۱/۸۲، شاخص نسبت چندگانه موثر ۴/۸۰، شاخص قدرت تفکیک ۵/۸۶ و میزان شباهت ژنتیکی برابر با ۰/۶۷ بدست آمد. تجزیه خوشه‌ای، اسکشن‌ها را در ۳ دسته قرار داد که با نتایج تجزیه به مختصات اصلی همخوانی داشت (Farshadfar et al. 2017). در مطالعه تنوع ژنتیکی دو گونه *L. multiflorum* و *L. perenne* با ۱۵ آغازگر SCoT در مجموع ۸۶ باند تولید شد که از این تعداد ۷۴ باند چندشکل بودند. آغازگرهای SC35 و SC36 بیشترین تعداد باند (۹) و آغازگرهای SC10 کمترین تعداد باند (۲) را تولید نمودند. بیشترین میزان شاخص قدرت تفکیک، شاخص نشانگری و نسبت چندگانه موثر را آغازگرهای SC26 و SC35 داشتند. میانگین تشابه بین ژنوتیپ‌ها ۶۴ درصد بود. تجزیه خوشه‌ای ژنوتیپ‌ها در ۲ گروه قرار داد، به طوری که گونه‌ها صد در صد از یکدیگر تفکیک شدند. بر اساس تجزیه واریانس مولکولی تنوع درون گونه‌ها ۵۱ و بین گونه‌ها ۴۹ درصد بود. بر اساس شاخص شانون و شاخص هتروژنتیکی مورد انتظار بیشترین تنوع در گونه *L. multiflorum* مشاهده شد (Farshadfar et al. 2018). در بررسی قابلیت نشانگر SCoT برای ارزیابی تنوع ژنتیکی گوجه فرنگی ۱۵ آغازگر ۲۰۷ نوار تولید نمودند که ۲۰۶ نوار آن چندشکل بود. اندازه نوارها بین

۲۵۰ تا ۳۲۰۰ جفت باز متغیر بود. میانگین درصد چندشکلی و میانگین محتوای اطلاعات چندشکلی به ترتیب ۹۹/۵۲ و ۰/۳۰ برآورد شد. تجزیه خوشه‌ای ارقام را به سه خوشه تقسیم کرد. در تجزیه به مختصات اصلی سه مؤلفه اول ۵۸/۸۲ در صد تغییرات مولکولی را توجیه کردند. آغازگرهای SCOT12 و SCOT23 با داشتن محتوای اطلاعات چند شکلی، شاخص نشانگری، نسبت چندشکلی مؤثر و قدرت تفکیک بالا کارایی مناسبی در تمایز ارقام داشتند (Mirzaei & Salari 2021).

تجزیه و تحلیل تنوع ژنتیکی با بررسی صفات مورفولوژیکی و در سطح DNA با استفاده از ابزارها و فن‌های مبتنی بر آن انجام می‌گردد (Zahid et al. 2009). در زمینه استفاده از نشانگرهای مولکولی مطالعات وسیعی در گیاهان مختلف صورت گرفته است (Noorian & Shirvani 2019; Mirzaei & Salari 2021; Moshrefi-Araghi et al. 2020); اما در مورد خارشتر به خصوص اکوتیپ‌هایی که در ایران وجود دارد، مطالعات بسیار اندکی صورت گرفته است. با توجه به وجود جمعیت‌های متفاوت و همچنین اکوتیپ‌های ژنتیکی مختلف که در اقلیم‌های مختلف کشور می‌رویند به نظر می‌رسد که تفاوت‌هایی از نظر ژنتیکی در بین اکوتیپ‌های خارشتر وجود داشته باشد. توجه به آنکه خارشتر در اکثر نقاط سه استان خراسان می‌روید و از طرفی با توجه به مطالعات اندکی که در زمینه خارشتر صورت گرفته است، لذا این تحقیق به منظور بررسی میزان تنوع ژنتیکی اکوتیپ‌های مختلف و دسته‌بندی آنها با استفاده از نشانگرهای مولکولی، تعیین شباهت و تفاوت بین اکوتیپ‌ها، بررسی کارایی نشانگرهای مولکولی ISSR و SCOT در تمایز نمودن جمعیت‌ها، تعیین بهترین آغازگر در شناسایی تنوع موجود و مشخص نمودن ساختار ژنتیکی اکوتیپ‌های مختلف خارشتر با استفاده از این نشانگرها صورت گرفت.

مواد و روش‌ها

بدور ۲۲ اکوتیپ خارشتر از سه استان خراسان رضوی شامل مشهد، تربت جام، نیشابور، سرخس، نیشابور، فریمان، تربت حیدریه، گناباد، خراسان جنوبی شامل نهبندان، سربیشه، قائن، زیرکوه، فردوس، بیرجند، خوسف، طبس، بشرویه، سرایان، درمیان و خراسان شمالی شامل شیروان، بجنورد و یک نمونه از استان تهران به طور تصادفی جمع‌آوری گردید و جهت انجام آزمایش به آزمایشگاه اصلاح نباتات مولکولی دانشکده کشاورزی بیرجند منتقل شد. (جدول ۱). برای انجام این آزمایش از ۴۸ آغازگر ISSR و ۲۴ آغازگر SCOT استفاده گردید. این آغازگرها به صورت خشک و فرز شده از شرکت سیناکلون خریداری و تهیه گردید. در ابتدای کار برای آزمون آغازگرها نمونه DNA بالک تهیه شد، به این صورت که پنج نمونه DNA به طور تصادفی انتخاب و با هم مخلوط گردید. هدف از این کار آزمون اولیه آغازگرها بر روی جمعیت‌ها بود تا چنانچه اگر یک نمونه DNA مشکلی داشته باشد آغازگر بتواند بر روی سایر DNAها تکثیر انجام دهد.

جدول ۱. مناطق مختلف جمع آوری اکوتیپ‌های خارشتر

Table 1. The different collection regions of Alhaji ecotypes

| شماره Number | منطقه Location | استان Province | عرض شمالی Northern latitude | طول شرقی Eastern longitude |
|-----------------|----------------------------------|----------------------------|--------------------------------|-------------------------------|
| 1 | مشهد Mashhad | Razavi Khorasan Province | 36.2972° N, | 59.6067° E |
| 2 | فریمان Fariman | Razavi Khorasan Province | 35.7014° N, | 59.8466° E |
| 3 | تربت جام Torbate-Jam | Razavi Khorasan Province | 35.2431° N, | 60.6248° E |
| 4 | نیشهر Nilshahr | Razavi Khorasan Province | 34.5774° N, | 60.1465° E |
| 5 | سرخس Sarakhsh | Razavi Khorasan Province | 36.5372° N, | 61.1561° E |
| 6 | نیشابور Neyshabour | Razavi Khorasan Province | 36.2132° N, | 58.7943° E |
| 7 | تربت حیدریه Torbate-Heydariye | Razavi Khorasan Province | 35.2875° N, | 59.2215° E |
| 8 | گناباد Gonabad | Razavi Khorasan Province | 34.3530° N, | 58.6838° E |
| 9 | نهبندان Nehbandan | Southern Khorasan Province | 31.5411° N, | 60.0372° E |
| 10 | سربیشه Sarbishe | Southern Khorasan Province | 32.5785° N, | 59.7955° E |
| 11 | قائن Qaen | Southern Khorasan Province | 33.7351° N, | 59.1798° E |
| 12 | زیرکوه Zirkouh | Southern Khorasan Province | 33.6934° N, | 59.9625° E |
| 13 | فردوس Ferdows | Southern Khorasan Province | 34.0186° N, | 58.1712° E |
| 14 | بیرجند Birjand | Southern Khorasan Province | 32.8733° N, | 59.2163° E |
| 15 | خوسف Khouf | Southern Khorasan Province | 32.7787° N, | 58.8882° E |
| 16 | طیس Tabas | Southern Khorasan Province | 33.5961° N, | 56.9279° E |
| 17 | بشروییه Boshroye | Southern Khorasan Province | 33.8684° N, | 57.4285° E |
| 18 | سرایان Sarayan | Southern Khorasan Province | 33.8606° N, | 58.5249° E |
| 19 | درمیان Darmian | Southern Khorasan Province | 33.0339° N, | 60.1185° E |
| 20 | شیروان Shirvan | Northern Khorasan Province | 37.3968° N, | 57.9310° E |
| 21 | بجنورد Bojnourd | Northern Khorasan Province | 37.4745° N, | 57.3233° E |
| 22 | تهران Tehran | Tehran Province | 35.7219° N, | 51.3347° E |

به عبارت دیگر هدف بالا بردن دقت در کار بود. میزان DNA در هر واکنش ۳۰ نانوگرم در نظر گرفته شد. مخلوط واکنش با حجم های مشخص آماده و به تیوپ های حاوی آغازگرهای مختلف اضافه شد و سپس واکنش های PCR انجام گردید. ۱۲ عدد از آغازگرهای ISSR و ۱۹ عدد از آغازگرهای SCoT بعد از الکتروفورز محصول PCR باندهایی با وضوح بالا تشکیل دادند که از این آغازگرها برای ادامه تحقیق استفاده گردید (جدول ۲)

جدول ۲. آغازگرهای ISSR و SCoT

Table 2. ISSR and SCoT primers

| شماره | آغازگر | توالی | شماره | آغازگر | توالی |
|--------|--------|---------------------------|--------|--------|--------------------------|
| Number | Primer | Sequence | Number | Primer | Sequence |
| ISSR | | | SCoT | | |
| IS5 | ISCS34 | 3'-ACACACACACACACT-5' | S2 | SCoT1 | 3'-ACCACCATCGGTAACAAC-5' |
| IS7 | ISCS70 | 3'-GTGTGTGTGTGTGTGTC-5' | S3 | SCoT2 | 3'-CCCACCATCGGTAACAAC-5' |
| IS2 | ISCS57 | 3'-GTGTGTGTGTGTGTGT-5' | S4 | SCoT3 | 3'-GCCACCATCGGTAACAAC-5' |
| IS3 | ISCS51 | 3'-TCTCTCTCTCTCTCG-5' | S6 | SCoT6 | 3'-CGCACCATCGGTAACAAC-5' |
| IS11 | ISCS49 | 3'-TCTCTCTCTCTCTCRA-5' | S9 | SCoT7 | 3'-GGCACCATCGGTAACAAC-5' |
| IS9 | ISCS77 | 3'-TGTGTGTGTGTGTGTC-5' | S10 | SCoT12 | 3'-GCAACCAGCGGTACAGCA-5' |
| IS12 | ISCS12 | 3'-TCTCTCTCTCTCTCRT-5' | S11 | SCoT13 | 3'-GCTACCAGCGGTACAGCA-5' |
| IS1 | ISCS28 | 3'-TTGTTGTTGTTGTTGTTGC-5' | S14 | SCoT14 | 3'-CGCACCAGCGGTACAGCA-5' |
| IS8 | ISCS11 | 3'-CTCTCTCTCTCTCTT-5' | S15 | SCoT16 | 3'-AGCCACCATCGGTACCA-5' |
| IS4 | ISCS7 | 3'-TCCTCCTCCTCCTCCTCC-5' | S13 | SCoT17 | 3'-GAGCCACCATCGGTACCA-5' |
| IS6 | ISCS4 | 3'-GACAGACAGACAGACA-5' | S17 | SCoT18 | 3'-CCGCCACCATCGGTACCA-5' |
| IS10 | ISCS1 | 3'-TCTCTCTCTCTCTCTCC-5' | S16 | SCoT20 | 3'-GCGCCACCATCGGTACCA-5' |
| | | | S12 | SCoT21 | 3'-ACACCCAGCGGTACAGCA-5' |
| | | | S7 | SCoT22 | 3'-CACCACCATCGGTACCAA-5' |
| | | | S8 | SCoT24 | 3'-TACCACCATCGGTACCAC-5' |
| | | | S18 | SCoT25 | 3'-GGGCCACCATCGGTACCA-5' |
| | | | S1 | SCoT28 | 3'-ACCGCCACCATCGGTACC-5' |
| | | | S5 | SCoT36 | 3'-CCACCATCGGTAACAACG-5' |

استخراج DNA با استفاده از روش تغییر یافته CTAB انجام شد (Doyle & Doyle 1987). از هر نمونه ۲۰۰ میلی گرم برگ در ازت مایع پودر و برگ های پودر شده به تیوپ های ۲ میلی لیتری حاوی ۶۸۶ میکرولیتر بافر استخراج (3 CTAB درصد، تریس ۱۰۰ میلی مولار، EDTA 20 میلی مولار، کلرید سدیم ۱/۴ میلی مولار) به همراه ۱۴ میکرولیتر مرکاپتواتانول به هر تیوپ اضافه شد. کمیت DNA استخراج شده با استفاده از دستگاه نانودراپ تعیین شد. با اس-تفاده از دستگاه نانودراپ جذب DNA رقیق شده در طول موج ۲۶۰ نانومتر (طول موج جذب اسیدهای نوکلئیک) و ۲۸۰ نانومتر (طول موج جذب پروتئین ها) اندازه گیری و در نهایت نسبت جذب نوری (۲۶۰/۲۸۰) DNA به دست آمد. کیفیت باندهای DNA با استفاده از دستگاه الکتروفورز افقی بر روی ژل آگارز یک درصد انجام شد.

واکنش PCR با حجم نهایی ۲۰ میکرولیتر شامل ۱ میکرولیتر DNA الگو (۳۰ نانوگرم)، ۱ میکرولیتر آغازگر (۱۰ پیکومول)، ۱۰ میکرولیتر مخلوط واکنش و ۸ میکرولیتر آب دوبار تقطیر شده بود. الکتروفورز افقی محصولات PCR با استفاده از ژل آگارز یک درصد در بافر (TBE 0.5X) و پس از رنگ آمیزی ژل تحت تابش اشعه ماورا بنفش با استفاده از محلول سیف استین انجام شد. بدین منظور ۸ میکرولیتر از محصول PCR با ۲ میکرولیتر از رنگ بارگذاری شد که و برای بررسی بهتر باندها از ۵ میکرولیتر

Ladder استفاده شد. نمونه‌ها به مدت ۱ ساعت با ولتاژ ۹۰ ولت الکتروفورز شدند. قطعات تکثیر یافته DNA توسط ژل‌داک زیر نور فرابنفش مشاهده و عکس‌برداری گردید.

جدول ۳. اجزای واکنش و برنامه دمایی واکنش زنجیره‌ای پلیمرز

Table 3. The components and temperature program of PCR

| واکنش زنجیره‌ای پلیمرز PCR | | | ISSR | | | |
|------------------------------------------|----------------------------------------------|------------------------------------|-------------------------------------------|----------------------------|------------------------------|------------------------------------------|
| مواد Materials | غلظت نهایی Final concentration | اجزای واکنش Reaction components | مراحل Step | تعداد چرخه Cycle Number | دما (سلسیوس) Temp (C°) | زمان (دقیقه/ثانیه) Time (min/s) |
| آب دوبار تقطیر Double distilled water | - | 8 میکرولیتر μL | واسرشت سازی اولیه Initial denaturation | 1 | 94 | 4m |
| مخلوط واکنش Mastermix | یک برابر 1X | 10 میکرولیتر μL | واسرشت سازی Denaturation | 35 | 94 | 1m |
| آغازگر Primer | 0.67 پیکومول pm | 1 میکرولیتر μL | اتصال Annealing | 35 | M.T-5 | 1m |
| دی‌ان‌ای DNA | 30 نانوگرم/میکرولیتر ng/ μL | 1 میکرولیتر μL | گسترش Extension | 35 | 72 | 2m |
| جمع Total | - | 20 میکرولیتر μL | بسط نهایی Final extension | 1 | 72 | 10m |
| آب دوبار تقطیر Double distilled water | - | 8 میکرولیتر μL | واسرشت سازی اولیه Initial denaturation | 1 | 94 | 4m |
| مخلوط واکنش Mastermix | یک برابر 1X | 10 میکرولیتر μL | واسرشت سازی Denaturation | 35 | 94 | 1m |
| آغازگر Primer | 0.67 پیکومول pm | 1 میکرولیتر μL | اتصال Annealing | 35 | 35 | 1m |
| دی‌ان‌ای DNA | 30 نانوگرم/میکرولیتر ng/ μL | 1 میکرولیتر μL | گسترش Extension | 35 | 72 | 2m |
| جمع Total | - | 20 میکرولیتر μL | بسط نهایی Final extension | 1 | 72 | 10m |

در ابتدا عکس‌های به‌دست آمده با استفاده از نرم‌افزار ImageJ مورد بررسی قرار گرفت و به حضور باند عدد یک و عدم حضور باند عدد صفر داده شد و اطلاعات حاصل از باندها به صورت ماتریس ذخیره شد. برای ارزیابی آغازگرها از صفات و شاخص‌هایی مانند تعداد آلل تکثیر شده (N_a)، تعداد آلل چند شکل، تعداد آلل مؤثر (N_e)، در صد چند شکلی^۴ (PP) (تقسیم تعداد

4. Polymorphism Percent (PP)

باند‌های چندشکل بر کل باندها)، شاخص چندشکلی^۵ (DI) یا شاخص محتوای چندشکلی^۶ (PIC): از فرمول $PIC=1-\sum p_i^2$ محاسبه می‌شود که p_i فراوانی نشانگر i ام می‌باشد، شاخص نسبت چندشکلی موثر^۷ (EMR): از درصد چندشکلی \times تعداد باندهای چند شکل، شاخص نشانگری^۸ (MI): تعداد باندهای چندشکل \times شاخص محتوای چندشکلی، قدرت تفکیک^۹ RP: $RP=\sum IB$ در رابطه که $IB=1-[2*(0/5-Pi)$ که p_i نسبت افراد دارای باند، شاخص شانون (I)، و شاخص نی (h) محاسبه شد. پارامترهای ژنتیکی مختلفی مانند هتروزیگوسیتی درون جمعیت‌ها (Hs)، هتروزیگوسیتی بین جمعیت‌ها (Dst)، هتروزیگوسیتی کل (Ht=Hs+Dst)، ضریب تنوع بین جمعیت‌ها (Gst=Dst/Ht)، شاخص Fst یا همبستگی ژن‌های افراد مختلف در یک جمعیت (Fst = 1 - Hs/Ht) نیز محاسبه شد (Lewontin 1972; Botstein et al. 1980; Agrama and Tuinstra, 2003; Anderson et al. 1993; Bryan et al. 1997). برای تعیین تنوع بین جمعیت‌ها تجربه واریانس مولکولی و به منظور تعیین پراکندگی آغازگرها در طول ژنوم تجزیه به مختصات اصلی (PCOA) و به منظور گروه‌بندی اکوتیپ‌ها و همچنین تعیین تشابه ژنتیکی افراد تجزیه خوشه‌ای انجام شد. در هر دو نشانگر ضریب تشابه UN1 و الگوریتم UPGMA به عنوان بهترین ضریب و الگوریتم شناخته شد، لذا در تجزیه خوشه‌ای استفاده شد. تعیین تعداد خوشه‌ها به صورت تجربی و چشمی انجام شد. این محاسبات با نرم افزارهای GENALEX 6.503، POPGEN، NTSYSpc2.2، و Excel انجام شد.

نتایج و بحث

ارزیابی آغازگرها و بررسی چندشکلی: از ۴۸ آغازگر ISSR، ۱۲ آغازگر و از ۲۴ آغازگر SCoT، ۱۸ آغازگر چندشکلی و وضوح بالایی را نشان دادند. در کل، ۱۲ آغازگر ISSR ۱۴۹ باند و ۱۸ آغازگر SCoT ۱۹۴ باند با وضوح بالا تولید نمودند که طول آنها به ترتیب بین ۱۰۰ تا ۱۵۰۰ و ۱۰۰ تا ۲۰۰۰ جفت باز برای نشانگرهای ISSR و SCoT متغیر بود. نمونه‌ای از الگوی باندی تکثیر شده توسط آغازگرهای ISSR49 (ISSR) و SCoT22 (SCoT) در شکل ۱ نشان داده شده است. آغازگرهای ISSR، ۹۹/۲۴ درصد و آغازگرهای SCoT، ۹۵/۴۲ درصد چندشکلی نشان دادند. در نشانگر ISSR کمترین تعداد باند تکثیر شده توسط آغازگرهای IS1، IS2، IS3 و IS6 با تعداد ۱۱ باند و بیشترین تعداد باند تکثیر شده توسط آغازگرهای IS5، IS8 و IS10 با تعداد ۱۴ باند و در نشانگر SCoT کمترین تعداد باند تکثیر شده توسط آغازگر S1 با ۵ باند و بیشترین تعداد باند تکثیر شده توسط آغازگرهای S2، S4، S6، S7 و S10 با ۱۳ باند مشاهده شد. در نشانگر ISSR شاخص محتوای چندشکلی بین ۰/۰۹ تا ۰/۴۴ و در نشانگر SCoT بین ۰/۰۳ تا ۰/۴۴ محاسبه شد.

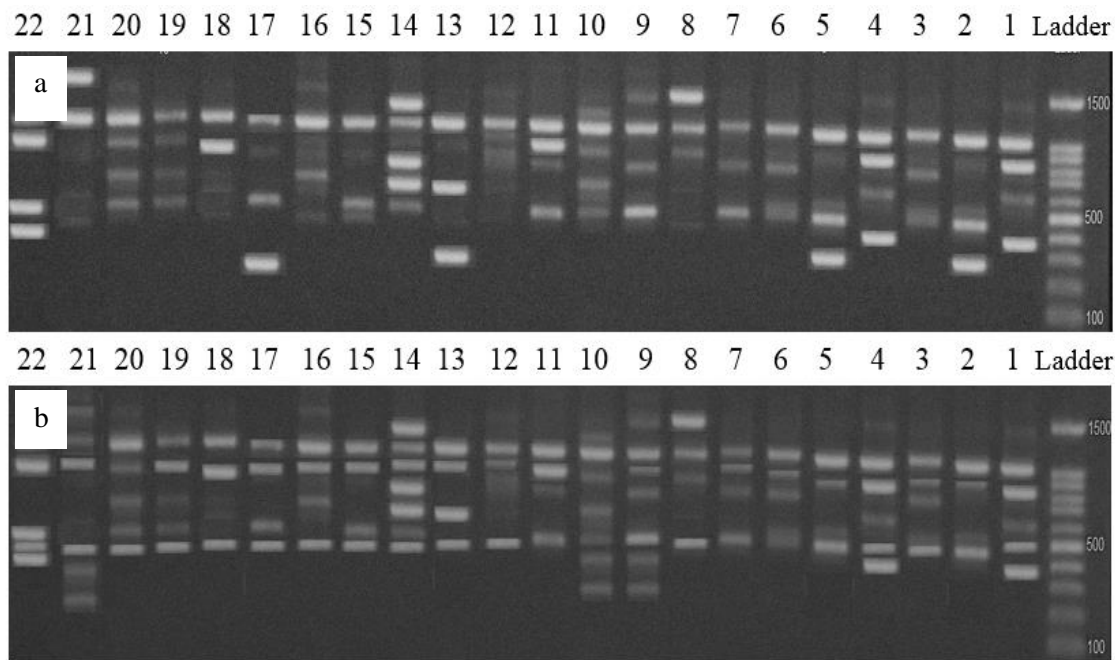
5. Diversity Index (DI)

6. Polymorphism Information Content (PIC)

7. Effective Multiple Ratios (EMR)

8. Marker Index

9. Resolving Power (RP)



شکل ۱. الگوی بانندی اکوتیپ‌های خارشتر: الف- آغازگر ISSR49 ب- آغازگر SCoT22
Figure 1. Band pattern of Alhaji ecotypes: a- ISSR49 primer b- SCoT22 primer

در ISSR بیشترین شاخص محتوای چندشکلی مربوط به آغازگرهای IS6 (۰/۴۴) و کمترین مربوط به آغازگر IS4 (۰/۰۹) و در نشانگر SCoT بیشترین شاخص محتوای چندشکلی مربوط به آغازگر S12 (۰/۴۴) و کمترین مربوط به آغازگر S1 (۰/۰۳) بود. شاخص نسبت چندشکلی در ISSR بین ۹/۰۹ تا ۱۴ و در SCoT بین ۷ تا ۱۳ متغیر بود. در ISSR بیشترین مقدار شاخص نسبت چندشکلی مربوط به آغازگرهای IS5، IS8، IS10 (۱۴) و کمترین مقدار مربوط به آغازگر IS2 (۹/۰۹) و در SCoT بیشترین مربوط به آغازگرهای S2، S4، S6، S7، S10 (۱۳) و کمترین مقدار مربوط به آغازگر S9 (۷) بود. در ISSR بیشترین شاخص نشانگر متعلق به آغازگر IS8 (۵/۵۴) کمترین شاخص نشانگر متعلق به آغازگر IS4 (۱/۱۲) و در SCoT بیشترین شاخص نشانگر متعلق به آغازگر S7 (۵/۳۶) و کمترین شاخص متعلق به آغازگر S1 (۰/۰۷) بود. در ISSR بیشترین مقدار شاخص قدرت تفکیک مربوط به آغازگر IS9 (۸/۹۷) و کمترین مربوط به آغازگر IS12 (۲/۵۹) و در SCoT بیشترین مقدار مربوط به آغازگر S14 (۱۱/۷) و کمترین مربوط به آغازگر S9 (۲/۳۰) بود.

پارامترهای ژنتیکی: نتایج نشان داد که میانگین میزان هتروزیگوسیتی کل، هتروزیگوسیتی درون جمعیت‌ها، جریان ژنی،

هتروزیگوسیتی بین جمعیت‌ها و Fst در نشانگر ISSR به ترتیب برابر با ۰/۴۳، ۰/۱۲، ۰/۱۰، ۳/۱۰، ۰/۷۳، ۰/۷۲ و در SCoT به ترتیب برابر با ۰/۴۰، ۰/۱۴، ۳/۷۶، ۰/۶۲ و ۰/۶۸ بود. در نشانگر ISSR بیشترین هتروزیگوسیتی کل مربوط به آغازگر IS6 (۰/۴۶) و کمترین میزان مربوط به آغازگر IS2 (۰/۳۴) و در SCoT بیشترین هتروزیگوسیتی کل مربوط به آغازگر S12 (۰/۴۷) بود و کمترین میزان نیز مربوط به آغازگر S1 (۰/۱۰) بود. در ISSR بیشترین مقدار هتروزیگوسیتی درون جمعیت‌ها مربوط به آغازگر IS6 (۰/۱۸)

و کمترین مقدار مربوط به آغازگر IS2 (۰/۰۷) و در SCoT بیشترین مقدار مربوط به آغازگر S5 (۰/۲۰) و کمترین مقدار مربوط به آغازگر S1 (۰/۰۲) بود. در ISSR بیشترین میزان جریان ژنی مربوط به آغازگر IS8 (۴/۳۱) و کمترین جریان ژنی مربوط به آغازگر IS1 (۱/۶۰) و در SCoT بیشترین میزان جریان ژنی مربوط به آغازگر S14 (۸/۷۱) و کمترین میزان جریان ژنی مربوط به آغازگر S9 (۰/۶۰) به دست آمد. در ISSR بیشترین هتروزیگوسیتی بین جمعیت‌ها مربوط به آغازگر IS1 (۰/۸۲) و کمترین هتروزیگوسیتی بین جمعیت‌ها مربوط به آغازگر IS6 (۰/۶۲) و در SCoT بیشترین هتروزیگوسیتی بین جمعیت‌ها مربوط به آغازگر S9 (۰/۸۶) و کمترین هتروزیگوسیتی بین جمعیت‌ها مربوط به آغازگر S1 (۰/۲۵) بود. در ISSR بیشترین Fst را آغازگر IS10 (۰/۸۵) و کمترین میزان Fst را آغازگر IS6 (۰/۶۲) و در SCoT بیشترین Fst را آغازگر S17 (۰/۹۹) و کمترین میزان Fst را آغازگر S14 (۰/۴۴) داشت.

بررسی پارامترهای تنوع ژنتیکی نشان داد که در نشانگر ISSR میانگین تعداد آلل‌ها، میانگین تعداد آلل‌های موثر، میانگین شاخص تنوع ژنتیکی نی و شاخص اطلاعاتی شانون به ترتیب برابر با ۲، ۱/۴۴، ۰/۲۸ و ۰/۴۴ و در نشانگر SCoT به ترتیب برابر با ۲، ۱/۴۹، ۰/۲۹ و ۰/۴۶ بود. در نشانگر ISSR بیشترین تعداد آلل‌های موثر مربوط به آغازگر IS6 (۱/۶۴) و کمترین آن مربوط به آغازگر IS3 و IS10 (۱/۳۳)، بیشترین شاخص تنوع ژنتیکی نی و شاخص اطلاعاتی شانون مربوط به آغازگر IS6 (به ترتیب ۰/۳۸ و ۰/۵۶) و کمترین آن مربوط به آغازگر IS2 و IS10 (به ترتیب ۰/۲۲ و ۰/۳۶) بود. در نشانگر SCoT بیشترین تعداد آلل‌های موثر مربوط به آغازگر S11 (۱/۶۴) و کمترین آن مربوط به آغازگر S1 (۰/۴۹)، بیشترین شاخص تنوع ژنتیکی نی و شاخص اطلاعاتی شانون مربوط به آغازگر S14 (به ترتیب ۰/۳۹ و ۰/۵۷) و کمترین آن مربوط به آغازگر S1 (به ترتیب ۰/۰۷ و ۰/۱۲) بود.

تجزیه واریانس مولکولی: تجزیه واریانس مولکولی نشان داد (جدول ۷) که در نشانگر ISSR ۹ درصد از تغییرات مربوط

به بین گروه‌ها و ۹۱ درصد مربوط به درون گروه‌ها و بر اساس نشانگر SCoT ۹ درصد از تغییرات مربوط به بین گروه‌ها و ۸۶ درصد مربوط به درون گروه‌ها بود. بررسی ضرایب همبستگی کوفنتیک (جدول ۸) نشان داد که ضریب تشابه UNI و الگوریتم میانگین تشابه میان زوج نمونه‌ها به دلیل دارا بودن بالاترین ضریب همبستگی (r) در هر دو نشانگر ISSR و SCoT به ترتیب ۰/۹۷ و ۰/۹۴ به عنوان بهترین ضریب و بهترین الگوی خوشه‌بندی می‌باشند، لذا بر اساس این الگو ماتریس تشابه بدست آمد و تجزیه خوشه‌ای انجام شد.

ماتریس تشابه و تجزیه خوشه‌ای: ماتریس تشابه نشان داد که بر اساس نشانگر ISSR بیشترین تشابه بین اکوتیپ‌های

بجنورد با شیروان (۰/۹۵) خوسف با بیرجند و زیرکوه با قاین (۰/۹۴) و نیلشهر با تربت‌جام (۰/۹۳) و کمترین درصد تشابه بین اکوتیپ‌های تهران با طبس (۰/۲۸) و تهران با سرخس (۰/۲۹) وجود داشت. بر اساس نشانگر SCoT بیشترین تشابه بین اکوتیپ‌های نیلشهر با تربت‌جام (۰/۹۱)، تربت‌جام با مشهد و نیشابور با سرخس (۰/۹۰) و بجنورد با مشهد، بجنورد با شیروان، زیرکوه با سرایان و زیرکوه با درمیان (۰/۸۹) و کمترین تشابه بین اکوتیپ‌های تهران با سربیشه (۰/۴۳) و تهران با نیلشهر (۰/۴۶) وجود داشت.

جدول ۴. شاخص‌های مولکولی برای نشانگر ISSR و SCoT در اکوتیپ‌های خارشر

Table 4. Molecular indices for ISSR and SCoT markers in Alhaji ecotypes

| آغازگر Primers | تعداد باندها N. of bands | تعداد باندهای چندشکل N. of polymorph bands | درصد چندشکلی Polymorphism percent | شاخص محتوای چندشکلی PIC | نسبت چندشکلی موثر EMR | شاخص نشانگر MI | شاخص قدرت تفکیک RP |
|-------------------|-----------------------------------|--------------------------------------------------------|--------------------------------------------|----------------------------------|--------------------------------|----------------------|-----------------------------|
| ISSR | | | | | | | |
| IS1 | 11 | 11 | 100 | 0.26 | 11 | 2.89 | 6.38 |
| IS2 | 11 | 10 | 90.9 | 0.20 | 9.09 | 2.19 | 6.31 |
| IS3 | 11 | 11 | 100 | 0.28 | 11 | 3.10 | 3.56 |
| IS4 | 13 | 13 | 100 | 0.09 | 13 | 1.12 | 7.23 |
| IS5 | 14 | 14 | 100 | 0.39 | 14 | 5.39 | 8.60 |
| IS6 | 11 | 11 | 100 | 0.44 | 11 | 4.8 | 8.27 |
| IS7 | 13 | 13 | 100 | 0.40 | 13 | 5.23 | 8.76 |
| IS8 | 14 | 14 | 100 | 0.40 | 14 | 5.54 | 8.59 |
| IS9 | 13 | 13 | 100 | 0.39 | 13 | 5.02 | 8.97 |
| IS10 | 14 | 14 | 100 | 0.24 | 14 | 3.30 | 6.19 |
| IS11 | 12 | 12 | 100 | 0.37 | 12 | 4.38 | 5.21 |
| IS12 | 12 | 12 | 100 | 0.29 | 12 | 3.5 | 2.59 |
| Mean | 12.41 | 12.33 | 99.24 | 0.31 | 12.26 | 3.87 | 6.73 |
| SCoT | | | | | | | |
| S1 | 5 | 2 | 40 | 0.04 | 8 | 0.07 | 7.99 |
| S2 | 13 | 13 | 100 | 0.33 | 13 | 4.28 | 8.90 |
| S3 | 11 | 11 | 100 | 0.39 | 11 | 4.31 | 8.37 |
| S4 | 13 | 13 | 100 | 0.34 | 13 | 4.37 | 5.96 |
| S5 | 11 | 11 | 100 | 0.41 | 11 | 4.52 | 8.54 |
| S6 | 13 | 13 | 100 | 0.37 | 13 | 4.84 | 10.3 |
| S7 | 13 | 13 | 100 | 0.41 | 13 | 5.36 | 8.88 |
| S8 | 11 | 11 | 100 | 0.35 | 11 | 3.80 | 6.11 |
| S9 | 7 | 7 | 100 | 0.26 | 7 | 1.81 | 2.30 |
| S10 | 13 | 13 | 100 | 0.33 | 13 | 4.35 | 10.44 |
| S11 | 11 | 11 | 100 | 0.32 | 11 | 3.50 | 10.19 |
| S12 | 12 | 12 | 100 | 0.44 | 12 | 5.22 | 7.16 |
| S13 | 10 | 10 | 100 | 0.29 | 10 | 2.94 | 6.17 |
| S14 | 9 | 9 | 100 | 0.28 | 9 | 2.54 | 11.70 |
| S15 | 9 | 8 | 88.8 | 0.27 | 7.10 | 2.16 | 4.30 |
| S16 | 9 | 8 | 88.8 | 0.27 | 7.10 | 2.13 | 7.57 |
| S17 | 11 | 11 | 100 | 0.38 | 11 | 4.21 | 8.89 |
| S18 | 8 | 8 | 100 | 0.20 | 8 | 1.63 | 9.29 |
| Mean | 10.5 | 10.22 | 95.42 | 0.32 | 10.50 | 3.45 | 7.94 |

بر اساس نشانگر ISSR اکوتیپ‌ها به سه گروه تقسیم‌بندی شدند. گروه اول به دو زیر گروه تقسیم‌بندی شد، زیر گروه اول شامل اکوتیپ‌های مشهد، فریمان، تربت جام، نیلشهر، سرخس، نیشابور، تربت حیدریه، گناباد، نهبندان، سربیشه، قاین، زیرکوه و فردوس بود. در زیر گروه دوم اکوتیپ‌های بیرجند، خوسف، طبس، بشرویه، سراپان و درمیان قرار گرفت. در گروه دوم اکوتیپ‌های شیروان و بجنورد قرار گرفتند. گروه سوم که هیچ زیر گروهی نداشت و از همه گروه‌ها مجزا بود شامل اکوتیپ تهران بود. نتایج تجزیه خوشه‌ای حاصل نشان داد که اکوتیپ‌های خارشر خراسان شمالی در یک گروه (بجنورد و شیروان) و اکوتیپ‌های خارشر خراسان رضوی و

بعضی از اکوتیپ‌های خراسان جنوبی در یک گروه قرار گرفتند. بررسی زیرگروه‌ها نشان داد که اکوتیپ‌های خارشر خراسان جنوبی کاملاً در یک زیرگروه قرار گرفتند.

جدول ۵. پارامترهای ژنتیکی محاسبه شده برای نشانگرهای ISSR و SCoT در اکوتیپ‌های خارشر
Table 5. Genetic parameters for ISSR and SCoT markers in Alhaji ecotypes

| ISSR | | | | | | |
|------------------|-----------------------|-------------------------------|----|-----------------|------------------------------|------|
| آغازگر Primer | هتروزیگوسیتی کل Ht | هتروزیگوسیتی درون جمعیت‌ها | | جریان ژنی Nm | هتروزیگوسیتی بین جمعیت‌ها | |
| | | Hs | Hd | | Gst | Fst |
| IS1 | 0.44 | 0.09 | | 1.60 | 0.82 | 0.80 |
| IS2 | 0.34 | 0.07 | | 2.52 | 0.79 | 0.78 |
| IS3 | 0.43 | 0.10 | | 2.01 | 0.79 | 0.77 |
| IS4 | 0.44 | 0.14 | | 3.58 | 0.70 | 0.68 |
| IS5 | 0.44 | 0.13 | | 2.84 | 0.71 | 0.70 |
| IS6 | 0.46 | 0.18 | | 3.82 | 0.62 | 0.62 |
| IS7 | 0.46 | 0.14 | | 3.48 | 0.70 | 0.69 |
| IS8 | 0.46 | 0.16 | | 4.31 | 0.66 | 0.64 |
| IS9 | 0.45 | 0.16 | | 4.02 | 0.67 | 0.66 |
| IS10 | 0.41 | 0.08 | | 3.07 | 0.81 | 0.85 |
| IS11 | 0.45 | 0.14 | | 3.21 | 0.69 | 0.68 |
| IS12 | 0.43 | 0.11 | | 2.72 | 0.77 | 0.74 |
| Mean | 0.43 | 0.12 | | 3.10 | 0.73 | 0.72 |
| SCoT | | | | | | |
| S1 | 0.10 | 0.02 | | 1.54 | 0.25 | 0.80 |
| S2 | 0.45 | 0.16 | | 4.46 | 0.64 | 0.64 |
| S3 | 0.46 | 0.19 | | 4.47 | 0.60 | 0.56 |
| S4 | 0.43 | 0.11 | | 2.13 | 0.75 | 0.74 |
| S5 | 0.46 | 0.20 | | 5.29 | 0.58 | 0.56 |
| S6 | 0.43 | 0.17 | | 5.37 | 0.61 | 0.61 |
| S7 | 0.47 | 0.19 | | 5.38 | 0.50 | 0.58 |
| S8 | 0.43 | 0.13 | | 3.62 | 0.69 | 0.69 |
| S9 | 0.42 | 0.06 | | 0.60 | 0.86 | 0.86 |
| S10 | 0.43 | 0.16 | | 5.24 | 0.62 | 0.62 |
| S11 | 0.41 | 0.09 | | 2.98 | 0.75 | 0.78 |
| S12 | 0.47 | 0.16 | | 3.31 | 0.66 | 0.66 |
| S13 | 0.42 | 0.12 | | 2.74 | 0.72 | 0.71 |
| S14 | 0.36 | 0.20 | | 8.71 | 0.42 | 0.44 |
| S15 | 0.39 | 0.12 | | 1.99 | 0.63 | 0.70 |
| S16 | 0.37 | 0.13 | | 3.13 | 0.58 | 0.64 |
| S17 | 0.41 | 0.10 | | 1.56 | 0.79 | 0.99 |
| S18 | 0.34 | 0.14 | | 5.20 | 0.57 | 0.60 |
| Mean | 0.40 | 0.14 | | 3.76 | 0.62 | 0.68 |

Ht: Total heterozygosity, Hs: Heterozygosity within populations, Nm: Gene flow, Gst: Gene differentiation coefficient
Ht: هتروزیگوسیتی کل، Hs: هتروزیگوسیتی درون جمعیت‌ها، Nm: جریان ژنی، Gst: ضریب تمایز ژنی

بر اساس نشانگر SCoT اکوتیپ‌ها به شش گروه تقسیم‌بندی شدند. گروه اول به دو زیر گروه تقسیم‌بندی شد، زیر گروه اول شامل اکوتیپ‌های شیروان، بجنورد، سراپان، نهبندان و سریشه و زیر گروه دوم شامل اکوتیپ‌های درمیان، طبس، بشرویه، گناباد و فردوس بود. گروه دوم هم به دو زیر گروه تقسیم شد، در زیر گروه اول فقط اکوتیپ مشهد و در زیر گروه دوم اکوتیپ‌های نیشابور، فریمان و تربت‌حیدریه قرار گرفتند. گروه سوم شامل اکوتیپ‌های قاین و زیرکوه بود. گروه چهارم شامل اکوتیپ‌های خوسف و بیرجند بود در گروه پنجم اکوتیپ‌های سرخس، تربت‌جام و نیلشهر قرار گرفتند. در گروه ششم فقط اکوتیپ تهران قرار گرفت.

جدول ۶. پارامترهای ژنتیکی محاسبه شده برای نشانگرهای ISSR و SCoT در اکوتیپ‌های خارشتر
Table 6. Genetic parameters for ISSR and SCoT markers in Alhaji ecotypes

| شاخص | شاخص | آلهای | تعداد آل‌ها | آغازگر | شاخص | شاخص | آلهای | تعداد آل‌ها | آغازگر |
|-------|------|-------|-------------|--------|-------|------|-------|-------------|--------|
| شانون | نی | موثر | Na | Primer | شانون | نی | موثر | Na | Primer |
| I | H | Ne | | | I | H | Ne | | |
| ISSR | | | | | SCoT | | | | |
| IS1 | 2 | 1.42 | 0.26 | 0.41 | S1 | 2 | 0.49 | 0.07 | 0.12 |
| IS2 | 2 | 1.35 | 0.22 | 0.36 | S2 | 2 | 1.48 | 0.30 | 0.46 |
| IS3 | 2 | 1.33 | 0.23 | 0.37 | S3 | 2 | 1.56 | 0.34 | 0.51 |
| IS4 | 2 | 1.43 | 0.28 | 0.43 | S4 | 2 | 1.37 | 0.26 | 0.42 |
| IS5 | 2 | 1.48 | 0.31 | 0.47 | S5 | 2 | 1.61 | 0.33 | 0.54 |
| IS6 | 2 | 1.64 | 0.38 | 0.56 | S6 | 2 | 1.52 | 0.33 | 0.50 |
| IS7 | 2 | 1.54 | 0.33 | 0.50 | S7 | 2 | 1.58 | 0.36 | 0.54 |
| IS8 | 2 | 1.44 | 0.33 | 0.50 | S8 | 2 | 1.47 | 0.30 | 0.46 |
| IS9 | 2 | 1.54 | 0.33 | 0.50 | S9 | 2 | 1.37 | 0.25 | 0.41 |
| IS10 | 2 | 1.33 | 0.22 | 0.36 | S10 | 2 | 1.51 | 0.31 | 0.47 |
| IS11 | 2 | 1.46 | 0.29 | 0.46 | S11 | 2 | 1.64 | 0.36 | 0.53 |
| IS12 | 2 | 1.37 | 0.24 | 0.39 | S12 | 2 | 1.56 | 0.35 | 0.53 |
| Mean | 2 | 1.44 | 0.28 | 0.44 | S13 | 2 | 1.40 | 0.26 | 0.42 |
| | | | | | S14 | 2 | 1.46 | 0.39 | 0.57 |
| | | | | | S15 | 2 | 1.29 | 0.21 | 0.35 |
| | | | | | S16 | 2 | 1.41 | 0.25 | 0.40 |
| | | | | | S17 | 2 | 1.56 | 0.34 | 0.51 |
| | | | | | S18 | 2 | 1.48 | 0.29 | 0.45 |
| | | | | | Mean | 2 | 1.49 | 0.29 | 0.46 |

Na: Observed number of alleles, Ne:Efficient number of alleles, H: Neis gene diversity index, I: Shannons information index

Na: تعداد آل‌ها، Ne: تعداد آل‌های موثر، H: شاخص نی، I: شاخص شانون

جدول ۷. تجزیه واریانس مولکولی اکوتیپ‌های خارشتر برای نشانگرهای ISSR و SCoT
Table 7. Molecular analysis of variance of Alhaji ecotypes for ISSR and SCoT markers

| منبع تغییرات | درجه آزادی | مربعات مجموع | میانگین مربعات | واریانس (%) | Phi PT | P-Value |
|---------------|------------|--------------|----------------|--------------|--------|---------|
| S.O.V | D.F | SS | MS | Variance (%) | | |
| ISSR | | | | | | |
| بین گروه‌ها | 3 | 108.23 | 36.08 | 9 | 0.02 | 0.09 |
| Between group | | | | | | |
| درون گروه‌ها | 18 | 442.72 | 24.60 | 91 | | |
| Within group | | | | | | |
| Total کل | 21 | 550.96 | | 100 | | |
| SCoT | | | | | | |
| بین گروه‌ها | 3 | | | | | |
| Between group | | 935.16 | 978.51 | 14 | 0.14 | 0.01 |
| درون گروه‌ها | 18 | 565.53 | 698.29 | 86 | | |
| Within group | | | | | | |
| Total کل | 21 | 500.69 | | 100 | | |

جدول ۸. ضرایب همبستگی کوفنتیک برای نشانگرهای ISSR و SCoT

Table 8. Coufentic correlation coefficients for ISSR and SCoT markers

| الگوریتم Algorithm | کامل Complete | | منفرد Single | | میانگین تشابه میان زوج نمونه‌ها UPGMA | |
|--------------------------------------|------------------|--------|-----------------|--------|------------------------------------------|--------|
| ضریب تشابه Similarity coefficient | ISSR | SCoT | ISSR | SCoT | ISSR | SCoT |
| دایس Dice | 0.61** | 0.67** | 0.72** | 0.70** | 0.74** | 0.74** |
| تطابق ساده SM | 0.94** | 0.90** | 0.94** | 0.90** | 0.96** | 0.93** |
| جاکارد Jacard | 0.62** | 0.71** | 0.74** | 0.73** | 0.76** | 0.73** |
| UN1 | 0.96** | 0.92** | 0.96** | 0.92** | 0.97** | 0.94** |

جدول ۹. ماتریس تشابه برای نشانگر ISSR در اکوتیپ‌های خارشتر

Table 9. Similarity matrix for ISSR marker in Alhaji ecotypes

| اکوتیپ Ecotype | 1 | 2 | 3 | 4 | 5 | 6 | 7 | 8 | 9 | 10 | 11 |
|-------------------|------|------|------|------|------|------|------|------|------|------|------|
| 1 | 1 | | | | | | | | | | |
| 2 | 0.92 | 1 | | | | | | | | | |
| 3 | 0.87 | 0.85 | 1 | | | | | | | | |
| 4 | 0.82 | 0.84 | 0.93 | 1 | | | | | | | |
| 5 | 0.77 | 0.76 | 0.80 | 0.83 | 1 | | | | | | |
| 6 | 0.80 | 0.82 | 0.81 | 0.87 | 0.84 | 1 | | | | | |
| 7 | 0.82 | 0.91 | 0.78 | 0.86 | 0.81 | 0.87 | 1 | | | | |
| 8 | 0.81 | 0.78 | 0.83 | 0.78 | 0.78 | 0.84 | 0.87 | 1 | | | |
| 9 | 0.80 | 0.82 | 0.83 | 0.87 | 0.82 | 0.82 | 0.86 | 0.94 | 1 | | |
| 10 | 0.75 | 0.78 | 0.84 | 0.83 | 0.83 | 0.80 | 0.81 | 0.85 | 0.84 | 1 | |
| 11 | 0.79 | 0.77 | 0.77 | 0.71 | 0.85 | 0.80 | 0.83 | 0.79 | 0.82 | 0.86 | 1 |
| 12 | 0.80 | 0.77 | 0.81 | 0.74 | 0.76 | 0.81 | 0.90 | 0.83 | 0.80 | 0.81 | 0.82 |
| 13 | 0.81 | 0.77 | 0.83 | 0.72 | 0.76 | 0.81 | 0.79 | 0.83 | 0.78 | 0.84 | 0.79 |
| 14 | 0.79 | 0.77 | 0.84 | 0.84 | 0.77 | 0.83 | 0.81 | 0.83 | 0.85 | 0.82 | 0.78 |
| 15 | 0.81 | 0.76 | 0.79 | 0.81 | 0.77 | 0.85 | 0.81 | 0.83 | 0.76 | 0.81 | 0.80 |
| 16 | 0.78 | 0.80 | 0.77 | 0.84 | 0.76 | 0.78 | 0.83 | 0.79 | 0.81 | 0.80 | 0.87 |
| 17 | 0.81 | 0.78 | 0.78 | 0.79 | 0.77 | 0.79 | 0.85 | 0.82 | 0.81 | 0.78 | 0.94 |
| 18 | 0.80 | 0.75 | 0.75 | 0.77 | 0.77 | 0.75 | 0.82 | 0.78 | 0.76 | 0.74 | 0.87 |
| 19 | 0.83 | 0.78 | 0.81 | 0.83 | 0.76 | 0.82 | 0.82 | 0.86 | 0.83 | 0.78 | 0.79 |
| 20 | 0.82 | 0.81 | 0.83 | 0.78 | 0.77 | 0.81 | 0.83 | 0.84 | 0.83 | 0.79 | 0.76 |
| 21 | 0.77 | 0.78 | 0.80 | 0.82 | 0.76 | 0.76 | 0.83 | 0.82 | 0.80 | 0.79 | 0.74 |
| 22 | 0.50 | 0.39 | 0.41 | 0.33 | 0.29 | 0.40 | 0.43 | 0.40 | 0.38 | 0.28 | 0.46 |
| اکوتیپ Ecotype | 12 | 13 | 14 | 15 | 16 | 17 | 18 | 19 | 20 | 21 | 22 |
| 12 | 1 | | | | | | | | | | |
| 13 | 0.80 | 1 | | | | | | | | | |
| 14 | 0.90 | 0.80 | 1 | | | | | | | | |
| 15 | 0.85 | 0.80 | 0.81 | 1 | | | | | | | |
| 16 | 0.80 | 0.80 | 0.84 | 0.81 | 1 | | | | | | |
| 17 | 0.76 | 0.80 | 0.70 | 0.80 | 0.81 | 1 | | | | | |
| 18 | 0.79 | 0.81 | 0.80 | 0.87 | 0.81 | 0.78 | 1 | | | | |
| 19 | 0.81 | 0.74 | 0.80 | 0.78 | 0.84 | 0.83 | 0.79 | 1 | | | |
| 20 | 0.78 | 0.80 | 0.72 | 0.76 | 0.85 | 0.82 | 0.72 | 0.76 | 1 | | |
| 21 | 0.81 | 0.80 | 0.81 | 0.79 | 0.82 | 0.70 | 0.76 | 0.71 | 0.95 | 1 | |
| 22 | 0.37 | 0.40 | 0.40 | 0.40 | 0.43 | 0.41 | 0.48 | 0.40 | 0.54 | 0.55 | 1 |

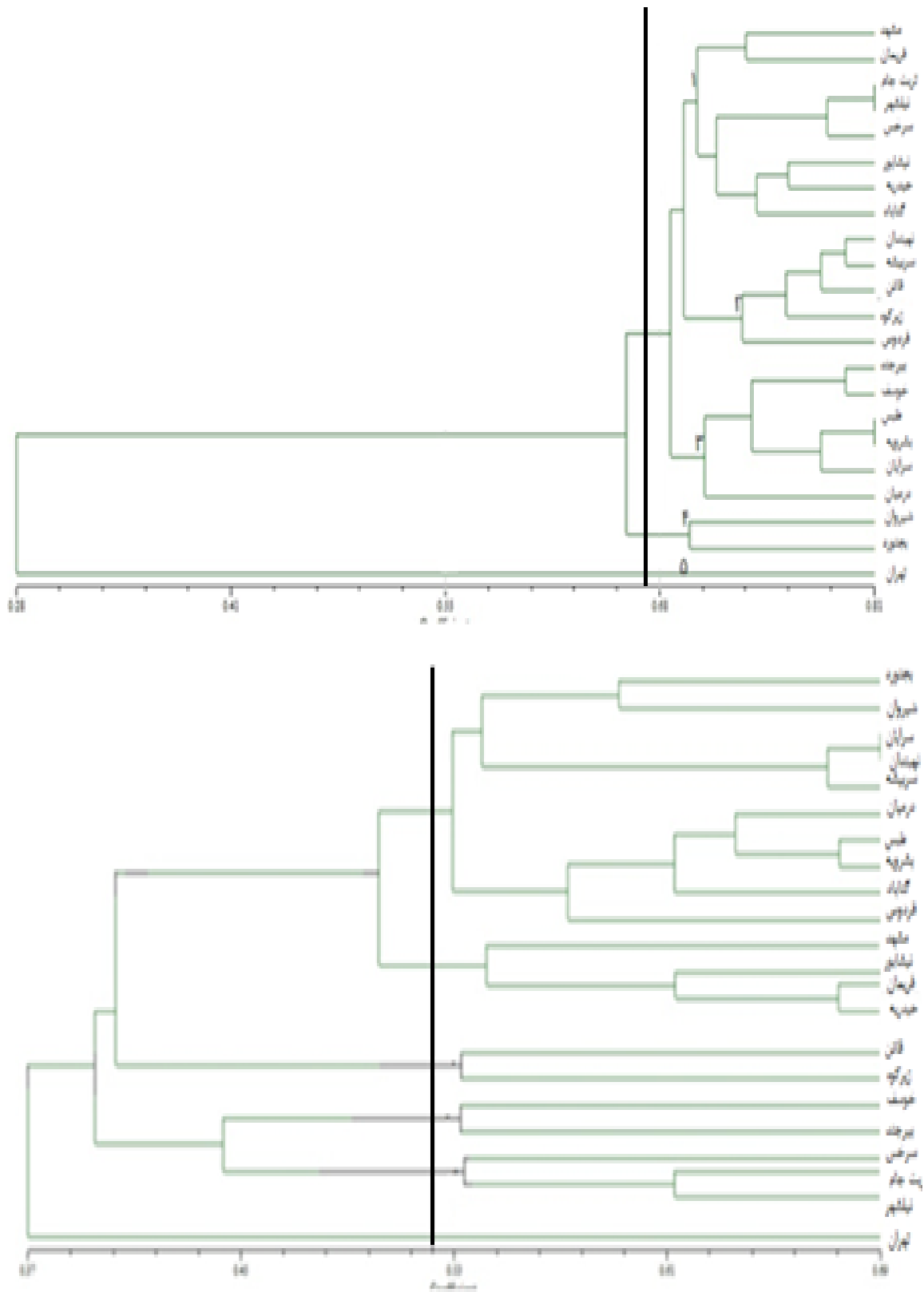
جدول ۱۰. ماتریس تشابه برای نشانگر SCoT در اکوتیپ‌های خارشتر

Table 10. Similarity matrix for SCoT marker in Alhaji ecotypes

| اکوتیپ | 1 | 2 | 3 | 4 | 5 | 6 | 7 | 8 | 9 | 10 | 11 |
|--------|------|------|------|------|------|------|------|------|------|------|------|
| 1 | 1 | | | | | | | | | | |
| 2 | 0.81 | 1 | | | | | | | | | |
| 3 | 0.90 | 0.83 | 1 | | | | | | | | |
| 4 | 0.87 | 0.81 | 0.91 | 1 | | | | | | | |
| 5 | 0.85 | 0.79 | 0.84 | 0.84 | 1 | | | | | | |
| 6 | 0.83 | 0.82 | 0.70 | 0.86 | 0.90 | 1 | | | | | |
| 7 | 0.84 | 0.85 | 0.76 | 0.82 | 0.81 | 0.74 | 1 | | | | |
| 8 | 0.86 | 0.80 | 0.75 | 0.84 | 0.84 | 0.83 | 0.83 | 1 | | | |
| 9 | 0.84 | 0.83 | 0.82 | 0.83 | 0.82 | 0.81 | 0.83 | 0.80 | 1 | | |
| 10 | 0.76 | 0.77 | 0.78 | 0.88 | 0.78 | 0.73 | 0.78 | 0.76 | 0.81 | 1 | |
| 11 | 0.77 | 0.80 | 0.79 | 0.82 | 0.79 | 0.76 | 0.82 | 0.74 | 0.81 | 0.86 | 1 |
| 12 | 0.83 | 0.81 | 0.85 | 0.87 | 0.80 | 0.71 | 0.84 | 0.72 | 0.82 | 0.80 | 0.86 |
| 13 | 0.83 | 0.79 | 0.86 | 0.87 | 0.83 | 0.83 | 0.82 | 0.78 | 0.80 | 0.77 | 0.83 |
| 14 | 0.82 | 0.76 | 0.83 | 0.81 | 0.71 | 0.82 | 0.80 | 0.81 | 0.79 | 0.73 | 0.81 |
| 15 | 0.79 | 0.78 | 0.80 | 0.80 | 0.76 | 0.80 | 0.78 | 0.86 | 0.77 | 0.72 | 0.81 |
| 16 | 0.79 | 0.80 | 0.80 | 0.77 | 0.80 | 0.78 | 0.83 | 0.80 | 0.81 | 0.77 | 0.83 |
| 17 | 0.81 | 0.79 | 0.79 | 0.77 | 0.80 | 0.77 | 0.80 | 0.77 | 0.78 | 0.74 | 0.77 |
| 18 | 0.82 | 0.78 | 0.82 | 0.76 | 0.81 | 0.80 | 0.83 | 0.79 | 0.77 | 0.73 | 0.78 |
| 19 | 0.84 | 0.80 | 0.83 | 0.82 | 0.82 | 0.80 | 0.78 | 0.79 | 0.79 | 0.80 | 0.73 |
| 20 | 0.79 | 0.73 | 0.78 | 0.76 | 0.75 | 0.77 | 0.73 | 0.78 | 0.76 | 0.75 | 0.79 |
| 21 | 0.89 | 0.79 | 0.79 | 0.77 | 0.78 | 0.79 | 0.81 | 0.78 | 0.81 | 0.72 | 0.80 |
| 22 | 0.53 | 0.64 | 0.56 | 0.46 | 0.55 | 0.57 | 0.58 | 0.61 | 0.56 | 0.60 | 0.52 |

| اکوتیپ | 12 | 13 | 14 | 15 | 16 | 17 | 18 | 19 | 20 | 21 | 22 |
|--------|------|------|------|------|------|------|------|------|------|------|----|
| 12 | 1 | | | | | | | | | | |
| 13 | 0.87 | 1 | | | | | | | | | |
| 14 | 0.85 | 0.87 | 1 | | | | | | | | |
| 15 | 0.82 | 0.85 | 0.86 | 1 | | | | | | | |
| 16 | 0.81 | 0.82 | 0.82 | 0.89 | 1 | | | | | | |
| 17 | 0.81 | 0.81 | 0.78 | 0.82 | 0.89 | 1 | | | | | |
| 18 | 0.80 | 0.80 | 0.80 | 0.78 | 0.85 | 0.88 | 1 | | | | |
| 19 | 0.81 | 0.82 | 0.85 | 0.83 | 0.82 | 0.78 | 0.84 | 1 | | | |
| 20 | 0.77 | 0.84 | 0.82 | 0.79 | 0.76 | 0.79 | 0.79 | 0.87 | 1 | | |
| 21 | 0.78 | 0.80 | 0.82 | 0.78 | 0.82 | 0.84 | 0.85 | 0.86 | 0.89 | 1 | |
| 22 | 0.55 | 0.52 | 0.52 | 0.59 | 0.62 | 0.61 | 0.59 | 0.43 | 0.57 | 0.55 | 1 |

۱-مشهد ۲-فریمان ۳-تربت جام ۴-نیلشهر ۵-سرخس ۶-نیشابور ۷-تربت حیدریه ۸-بیرجند ۹-خوسف ۱۰-طیس ۱۱-قاین ۱۲-گناباد ۱۳-فردوس ۱۴-بشروه ۱۵-سرایان ۱۶-درمیان ۱۷-زیرکوه ۱۸-نهبندان ۱۹-سربیشه ۲۰-شیروان ۲۱-بجنورد ۲۲-تهران
 1-Mashhad 2-Fariman 3-Torbate-Jam 4-Nilshahr 5-Sarakhs 6-Neyshabour 7-Torbate-Heydariye 8-Birjand 9-Khousf 10-Tabas 11-Qaen 12-Gonabad 13-Ferdows 14-Boshroye 15-Sarayan 16-Darman 17-Zirkouh 18-Nehbandan 19-Sarbishe 20-Shirvan 21-Bojnord 22-Tehran



شکل ۲. تجزیه خوشه‌ای اکوتیپ‌های خارشتر برای الف- نشانگر ISSR ب- نشانگر SCoT

Figure 2. Cluster analysis of Alhaji ecotypes for a- ISSR marker b- SCoT marker

به طور کل بررسی شاخص‌ها و مقایسه این شاخص‌ها در نشانگر ISSR در مقابل SCoT نشان می‌دهد که تعداد باندهای تکثیر شده ۱۲/۴ و ۱۰/۵، تعداد باندهای چندشکل ۱۲/۳۳ و ۱۰/۲۲، درصد چندشکلی ۹۹/۲۴ و ۹۵/۴۲، شاخص PIC ۰/۳۱ و ۰/۳۲، شاخص EMR ۱۲/۲۶ و ۱۰/۵، شاخص MI ۳/۸۷ و ۳/۴۵، شاخص RP ۶/۳۷ و ۷/۹۴، تقریباً مقادیر مشابهی داشتند. به عبارت دیگر در مجموع آغازگرها در هر دو سیستم نشانگری از نظر شاخص‌های آگاهی بخش تقریباً مثل هم عمل نمودند. هر دو سیستم نشانگری به خوبی قادر به نشان دادن سطح بالایی از تنوع درون گونه‌ای بودند. در برخی از پارامترهای ژنتیکی مقادیر ISSR اندکی بیشتر از SCoT بود. مقدار PIC بالا برای آغازگر نشان‌دهنده کارایی بالای آنها در تمایز ژنوتیپ‌های مورد استفاده می‌باشد. بنابراین نشانگرهایی با PIC بالا برای تمایز ژنوتیپ‌های با خویشاوندی نزدیک مفید هستند. PIC یکی از معیارها برای انتخاب بهترین جایگاه ژنی است. مقدار PIC بالا در یک مکان ژنی بیانگر وجود آلل نادر در آن مکان ژنی می‌باشد که می‌تواند در تمایز مؤثر ژنوتیپ‌ها استفاده شود (Roder et al. 1995). شاخص PIC بزرگ‌تر از ۰/۵ نشان‌دهنده نشانگری بسیار کارآمد، بین ۰/۲۵ تا ۰/۵ نشان‌دهنده نشانگری کارا و کمتر از ۰/۲۵ نشان‌دهنده نشانگری کم است (Wei et al. 2005). با توجه به آنکه مقدار این پارامتر (۰/۳۱ و ۰/۳۲) در هر دو نشانگر بین ۰/۲۵ تا ۰/۵۰ بود، لذا می‌توان نتیجه‌گیری نمود که آغازگرهای مورد مطالعه اگرچه خوب بودند ولی عالی نبودند. از طرفی آغازگرهای IS6 و S12 (PIC = ۰/۴۴) بهترین آغازگرها در تمایز اکوتیپ‌های خارشتر بودند. یکی دیگر از شاخص‌های مهم جهت مقایسه نشانگرهای مختلف، قدرت تمایز (RP) آنها می‌باشد. مقادیر بالای این معیار، دلالت بر چندشکلی زیاد در یک جایگاه نشانگری دارد که در تفکیک و تمایز افراد نقش به‌سزایی دارد، بهترین شاخص برای انتخاب آغازگر مناسب، شاخص قدرت تفکیک (RP) است، زیرا هم از تعداد افراد دارای باند و هم از تعداد آلل تأثیر می‌پذیرد. قدرت تفکیک، شاخصی است که توانایی تفکیک آغازگرهای انتخابی را نشان می‌دهد (Kayis et al. 2010). بررسی این شاخص در دو نشانگر نشان می‌دهد که مقادیر آن (۶/۷۳ در ISSR و ۷/۹۴ در SCoT) تقریباً بالا بود، لذا هر دو نشانگر از این حیث نشانگرهای خوبی در زمینه بررسی تنوع ژنتیکی اکوتیپ‌های خارشتر بودند. شاخص نشانگر (MI) علاوه بر مزایای PIC تعداد کل باند و نسبت چندشکلی را نیز در نظر گرفته و پتانسیل هر آغازگر را جهت تولید باند بیشتر نشان می‌دهد. شاخص نشانگر برآوردی مناسب از کارایی آغازگرها است که به تعداد باندهای چندشکلی بدست آمده و به پوشش زیاد ژنوم با نشانگر نسبت داده می‌شود، زیاد بودن شاخص نشانگر، بیان‌کننده فراهم کردن اطلاعات بیشتر از ژنوم با توجه به تولید تعداد بیشتر باند چندشکل است (Milbourne et al. 1997). بررسی شاخص نشانگر (۳/۸۷ و ۳/۴۵) در هر دو نشانگر نشان می‌دهد که آغازگرهای انتخاب شده در ISSR و SCoT توانایی بالایی در تولید تعداد باند چندشکل داشتند و از این رو انتخاب آغازگرهای مناسب بوده است. بهترین آغازگر از این حیث IS9 (۸/۹۷) و S14 (۱۱/۷) بود. شاخص Fst ساختار، دوری و نزدیکی بین جمعیت‌ها را از طریق محاسبه هتروزیگوسیتی آلل‌ها، فراوانی آلل‌ها و تنوع در جمعیت‌ها نشان می‌دهد. زمانی که افراد از نظر فراوانی آللی کاملاً مشابه باشند مقدار این شاخص برابر با صفر و زمانی که افراد از نظر آللی کاملاً متفاوت باشند این مقدار برابر با یک می‌شود. شاخص Fst برای مطالعه تفاوت بین جمعیت‌ها نیز بکار می‌رود. در مطالعه

جمعیت‌ها اگر میزان Fst بین ۰/۱۵ تا ۰/۲۵ بدست آید نشان می‌دهد جمعیت‌های مورد مطالعه کاملاً از هم متمایز هستند (Wright 1951). مقدار Fst بدست آمده در دو نشانگر ISSR و SCoT (۰/۷۲ و ۰/۶۸) نشان می‌دهد که جمعیت‌های مورد مطالعه یعنی خراسان شمالی، رضوی و جنوبی کاملاً از هم متمایز می‌باشند. بالا بودن میزان شاخص نی و شاخص اطلاعاتی شانون، در هر دو نشانگر نشان‌دهنده کارایی بالای آغازگرهای انتخاب شده در تمایز اکوتیپ‌ها داشت. مقادیر بالاتر واریانس درون گروه‌ها نسبت به بین گروه‌ها نشان می‌دهد که میزان تنوع در درون گروه‌ها بیشتر از بین گروه‌ها است. بالاتر بودن میزان تنوع در درون گروه‌ها نشان‌دهنده تفاوت بیشتر اکوتیپ‌ها با یکدیگر در درون آن گروه است. تفاوت بین اکوتیپ‌ها در درون هر گروه نشان می‌دهد که اکوتیپ‌های درون هر گروه از لحاظ داده‌های مولکولی با یکدیگر متفاوت می‌باشند. اختلاف کم موجود در بین گروه‌ها نیز نشان می‌دهد که از نظر داده‌های مولکولی میانگین اکوتیپ‌های هر گروه با گروه دیگر اختلاف زیادی نداشتند. عدم تفاوت بین میانگین گروه‌ها با یکدیگر بیانگر این است که دو گروه و یا چند گروه به طور کل مشابه می‌باشند. این اختلاف کم موجود بین گروه‌ها می‌تواند به دلیل جابه‌جایی اکوتیپ‌ها از یک منطقه به منطقه دیگر و در نتیجه شباهت اکوتیپ‌هایی از دو گروه با یکدیگر باشد. این امر باعث نزدیک شدن میانگین گروه‌ها به یکدیگر و در نتیجه شباهت گروه‌ها با یکدیگر می‌گردد. اگرچه اختلاف بیشتر بین گروهی نسبت به درون گروهی در مطالعات مربوط به گیاهان مختلف دیده شده است (Andrew et al. 2004; Farshadfar et al. 2018)، لیکن این نتایج با نتایج (Amirkhosravi et al (2021) مطابقت داشت. نتایج حاصل از ماتریس تشابه نشان داد که دورترین اکوتیپ‌ها از لحاظ مولکولی با توجه به نشانگر ISSR تهران با طبرس (۰/۲۸) و تهران با سرخس (۰/۲۹) و از لحاظ نشانگر SCoT تهران با سربیشه (۰/۴۳) و تهران با نیلشهر (۰/۴۶) می‌باشد. بنابراین چنانچه در مطالعات آینده دورگ‌گیری بین اکوتیپ‌ها مد نظر باشد، احتمال بیشتری هتروزیس از تلاقی این اکوتیپ‌ها با یکدیگر مورد انتظار است. تجزیه خوشه‌ای نشان داد که اکوتیپ‌های نزدیک از لحاظ جغرافیایی لزوماً از لحاظ ژنتیکی نزدیک به هم نیستند، به عبارت دیگر تنوع جغرافیایی از تنوع ژنتیکی تبعیت نداشت. نتایج این تحقیق با نتایج (Amirkhosravi et al (2021) مطابقت داشت.

نتیجه‌گیری: از نتایج به‌دست آمده در این مطالعه می‌توان گفت که نشانگرها به خوبی در سطح ژنوم پراکنده بودند و توانستند اکوتیپ‌ها را به گروه‌های مشخصی تفکیک کنند و استفاده از نشانگرهای ISSR و SCoT در مطالعه تنوع ژنتیکی خارشتر مناسب بوده و از این نتایج می‌توان در سایر مطالعات ژنتیکی و به‌نژادی خارشتر به منظور انتخاب والدین در برنامه‌های دورگ‌گیری با توجه به حداکثر فاصله ژنتیکی برای تولید ارقام برتر استفاده نمود.

سپاسگزاری: از دانشگاه بیرجند به خاطر حمایت مالی و معنوی در اجرای پژوهش حاضر سپاسگزاری می‌شود.

منابع

- ابراهیم‌پور نورآبادی مریم، یزدان بخش زهرا، کشاورزی مریم (۱۳۹۱) مطالعه سیتوژنتیکی دو گونه خارشتر *Alhagi graecorum* و *pseudoalhagi* داروهای گیاهی (۳)، ۱۶۷-۱۷۳.
- ادنایی سید مهدی، مرادی محمد رضا، بیات حسین، زارع زاده مهریزی، حسن (۱۳۹۲) معرفی گیاه خارشتر و بررسی مراحل پدید‌ساختی آن در مراتع حاشیه حوض سلطان قم. همایش ملی پدافند غیر عامل در بخش کشاورزی.
- باقری عبدالرضا، ایزدی دربندی علی، ملیوبی محمد علی (۱۳۹۱) کاربردهای عملی بیوتکنولوژی مولکولی گیاهی (ترجمه). انتشارات دانشگاه مشهد. ۲۳۴ص.
- براتی میترا، بازوبندی محمد، قربانعلی مه‌لقا (۱۳۸۵). بررسی برخی ویژگی‌های اکوفیزیولوژیکی رشد خارشتر. رستنیها، ۷(۲): ۱۲۳-۱۱۱.
- بهادر یاسر، محمدآبادی محمد رضا، خضری امین، و همکاران (۱۳۹۵) مطالعه تنوع ژنتیکی جمعیت‌های زنبور عسل استان کرمان با استفاده از نشانگرهای ISSR. پژوهش‌های تولیدات دامی ۱۳، ۱۹۲-۱۸۶.
- رحمتی هوشنگ، فرشادفر محسن، شیروانی هومن (۱۳۹۶) بررسی تنوع ژنتیکی اکسشن‌های *Festuca arundinacea* با استفاده از نشانگر مولکولی ISSR. پژوهشنامه اصلاح گیاهان زراعی ۹(۲۴)، ۹۴-۸۷.
- زرگری علی ۱۳۷۵. گیاهان دارویی. جلد دوم. انتشارات دانشگاه تهران. ۹۸۰ ص.
- رضایی مهدی، نقوی محمد رضا، معالی امیری رضا (۱۳۸۹) ارزیابی تنوع ژنتیکی در اکوتیپ‌های یونجه زراعی (*Medicago sativa*) نواحی مرکزی و شرقی ایران با استفاده از نشانگرهای ریزوماوار. ۱۲ (۴)، ۵۲۰-۵۳۲.
- عسکری ناهید، باقی زاده امین، محمدآبادی محمد رضا (۱۳۸۹). مطالعه تنوع ژنتیکی در چهار جمعیت بز کرکی راینی با استفاده از نشانگرهای ISSR. مجله ژنتیک نوین ۵، ۵۶-۴۹.
- فرشادفر محسن، مرادزاده نازنین، فرشادفر عزت اله، شیروانی هومن (۱۳۹۶) بررسی تنوع ژنتیکی اکسشن‌هایی از رازیانه (*Foeniculum vulgare Mill*). بر اساس صفات ریخت‌شناختی و نشانگر مولکولی SCoT. دو فصلنامه علمی-پژوهشی تحقیقات ژنتیک و اصلاح گیاهان مرتعی و جنگلی ایران، ۲۵ (۲)، ۲۳۱-۲۱۲.
- فرشادفر محسن، شیروانی هومن، امجدیان مصطفی، یاقوتی‌پور آنتیا (۱۳۹۷). کارایی نشانگر مولکولی SCoT در بررسی تمایز دو گونه *Lolium perenne* و *Lolium multiflorum* دو فصلنامه علمی-پژوهشی تحقیقات ژنتیک و اصلاح گیاهان مرتعی و جنگلی ایران، ۲۶ (۲)، ۲۲۰-۲۰۷.
- محمدی سید ابولقاسم (۱۳۸۵) تجزیه و تحلیل داده‌های مولکولی از دیدگاه بررسی تنوع ژنتیکی. نهمین کنگره علوم زراعت و اصلاح نباتات ایران. ۱۱۹ - ۹۶.

- مشرقی عراقی علیرضا، نعمتی حسین، عزیزی مجید، مشکانی نسرين، شور محمود (۱۳۹۹) بررسی تنوع ژنتیکی برخی از ژنوتیپ‌های پونه وحشی (*Mentha longifolia* L.) ایران با استفاده از نشانگر ISSR و ارتباط آن با عملکرد ماده خشک و درصد اسانس. مجله بیوتکنولوژی کشاورزی، ۱۲ (۳)، ۱۱۷-۱۴۰.
- میرزائی سپیده، سالاری هومن (۱۴۰۰) بررسی تنوع ژنتیکی ارقام گوجه‌فرنگی با استفاده از نشانگر SCoT. مجله بیوتکنولوژی کشاورزی، ۱۳ (۴)، ۱۰۱-۱۲۰.
- نوریان عبدالمهدی، شیروانی هومن (۱۳۹۸) بررسی تنوع ژنتیکی اکوتیپ‌های پنیرک (*Malva neglecta*) با استفاده از نشانگر مولکولی ISSR. مجله پژوهش‌های گیاهی (مجله زیست‌شناسی ایران)، ۳۲ (۴)، ۹۸۴-۹۹۴.
- یغمایی فرنوش، کریم پور محمدحسن (۱۳۸۷) بررسی ویژگی‌های رفتاری زنجرك مولد ترنجبین *Poophilus nebulosus* Leth روی گیاه خارشر *Alhagi persarum Boiss & Buhse* در منطقه تربت‌جام، استان خراسان رضوی. حفاظت گیاهان (علوم و صنایع کشاورزی)، ۲۲ (۲)، ۱۶۱-۱۷۰.

References

- Adnaei SM, Moradi MR, Bayat H et al. (2013) Introduction of Alhaji and study of its phenomenological stages in the rangelands of Hoze- Sultan Qom. National Conference on Passive Defense in Agriculture (In Persian).
- Agrama H, Tuinstra M (2003) Phylogenetic diversity and relationships among sorghum accessions using SSRs and RAPDs. *Afr J Biotechnol* 2, 334-340.
- Amirkhosravi A, Asri Y, Assadi M et al. (2021) Genetic structure of Alhagi (Hedysareae, Fabaceae) populations using ISSR data in Iran. *Mol Biol Rep* 48, 5143–5150.
- Andrew AJ, Liston A, Popovich SJ (2004) Genetic diversity of the narrow endemic *Astragalus oniciformis* (Fabaceae). *Am J Bot* 91(12), 2004-2012.
- Askari N, A Baghizadeh, MR Mohammadabadi (2010) Study of genetic diversity in four populations of Raeini cashmere goat using ISSR markers. *Modern Genet J* 5 (2), 49-56 (In Persian).
- Askari N, Mohammad Abadi MR, Baghizadeh A (2011). ISSR markers for assessing DNA polymorphism and genetic characterization of cattle, goat and sheep populations. *Iran J Biotechnol* 9, 222–229 (In Persian).
- Bagheri A, Izadi Darbandi A, Malboobi M (2012) Practical applications of plant molecular biotechnology (translation). Mashhad University Press, 234 p (In Persian).
- Bahador Y, MR Mohammadabadi, A Khezri, et al. (2016) Study of Genetic Diversity in Honey Bee Populations in Kerman Province using ISSR Markers. *Res Anim Prod* 7 (13), 186-192 (In Persian).
- Barati M, Bazoubandi M, Ghorbanali M (2006) Study of some ecophysiological characteristics of *Alhagi pseudalhagi* growth. *Rostaniha* 7 (27), 111-123 (In Persian)

- Botstein D, White RL, Skolnick M et al. (1980) Construction of a genetic linkage map in man using restriction fragment length polymorphisms. *Am J Hum Genet* 32, 314-322.
- Bryan G, Collins A, Stephenson P et al. (1997) Isolation and characterisation of microsatellites from hexaploid bread wheat. *Theor Appl Genet* 94, 557-563.
- Collard BY, Mackill D (2012) Start Codon Targeted (SCoT) Polymorphism: A Simple, Novel DNA Marker Technique for Generating Gene Targeted Markers in Plants. *Plant Mol Biol Rep* 27, 86-93.
- Davis TM, Haigis YUH, McGowan PJ (1995) Template mixing: a method of enhancing detection and interpretation of codominant RAPD markers. *Theor Appl Genet* 91, 582- 588.
- Doyle JJ, Doyle JL (1987) A rapid DNA isolation procedure for small quantities of fresh leaf tissue. *Phytochem Bull* 19, 11-15.
- Ebrahimpour Norabadi M, Yazdanbakhsh Z, Keshavarzi M (2012) Cytogenetic Study of Two *Alhagi* Species. *J Herb Med* 3(3), 167-173 (In Persian).
- Farshadfar M, Moradzade N, Farshadfar E et al. (2017) Genetic diversity among fennel (*Foeniculum vulgare* Mill.) accessions using morphological and SCoT markers. *Iran J Rageland Forest Planf Breed Genet Res* 25(2), 212-231 (In Persian).
- Farshadfar M, Shirvani H, Amjadian M et al. (2018) Application of SCoT marker to discriminate *Lolium perenne* and *Lolium multiflorum* species. *Iran J Rageland Forest Planf Breed Genet Res* 6(2), 207 - 220 (In Persian).
- Gept P (1993) The use of molecular and biochemical markers in crop evolution studies. In: *Evolutionary Biology*. (Eds.): M.K. Hecht, Plenum Press, New York, 534.
- Ghasemi M, Baghizadeh A, Mohammadabadi MR (2010) Determination of genetic polymorphism in Kerman Holstein and Jersey cattle population using ISSR markers. *Aust J Basic Appl Sci* 4, 5758-5760.
- Hassanein AM, Mazen AMA (2001) Adventitious bud formation in *Alhagi graecorum*. *Plant Cell Tiss Org* 65, 31-35.
- Kalendar R (2007) FastPCR: a PCR primer design and repeat sequence searching software with additional tools for the manipulation and analysis of DNA and protein. Available at www.biocenter.helsinki.fi/programs/fastpcr.htm; 2007.
- Kayis SA, Hakki EE, Pinarkara E (2010) Comparison of effectiveness of ISSR and RAPD markers in genetic characterization of seized marijuana (*Cannabis sativa* L.) in Turkey. *Afr J Agric Re* 5(21), 2925-2933.
- Lewontin RC (1972) The apportionment of human diversity. In: *Evolutionary biology*. (ed)^(eds). Springer, pp, 381-398.

- Milbourne D, Meyer R, Bradshaw JE et al. (1997) Comparison of PCR-based marker systems for the analysis of genetic relationships in cultivated potato. *Mol Breed* 3, 127–136.
- Mirzaei S, Salari H (2021) Study on the genetic diversity of tomato's cultivars via SCoT marker. *Agric Biotechnol J* 13 (4), 101-120 (In Persian).
- Mohammadabadi M, Askari N (2012) Characterization of Genetic structure using ISSR-PCR markers: cattle, goat and sheep populations. LAP LAMBERT Academic Publishing, Saarbrusken, Germany, 120pp.
- Mohammadabadi M, Oleshko V, Oleshko O, et al. (2021) Using Inter Simple Sequence Repeat Multi-Loci Markers for Studying Genetic Diversity in Guppy Fish. *Turk J Fish Aquatic Sci* 21 (12), 603-613.
- Mohammadabadi MR, Esfandyarpoor E, Mousapour A (2017) Using Inter Simple Sequence Repeat Multi-Loci Markers for Studying Genetic Diversity in Kermani Sheep. *J Res Develop* 5 (2), e154.
- Mohammadi SA (2006) The analysis of molecular data from the point of view of studying genetic diversity. 9th Iranian Congress of Crop Science and Plant Breeding 96- 119 (In Persian).
- Moshrefi-Araghi AR, Nemati H, Azizi M et al. (2020) Study of genetic diversity of some genotypes of iranian wild mint (*Mentha longifolia* L.) using ISSR marker and its correlation with dry yield and essential oil content. *Agric Biotechnol J* 12 (3), 117-138 (In Persian).
- Noorian AM, Shirvani H (2019) Genetic variability of *Malva neglecta* ecotype using ISSR molecular markers. *J Plant Res* 32(4), 984-994 (In Persian).
- Rahmati H, Farshadfar M, Shirvani H (2018) Study of Genetic Diversity of *Festuca Arundinacea* Based on ISSR Molecular. *J Crop Breed*, 9(24), 87-94 (In Persian).
- Rezaie M, Naghavi MR, Maali Amiri R (2011) Assessment of genetic diversity in Alfalfa (*Medicago Sativa* L.) ecotypes from central and eastern regions of Iran using SSR markers. *Iran J Crop Sci* 4(48), 520-532 (In Persian).
- Roder MS, Plaschke J, Konig SU et al. (1995) Abundance, variability and chromosomal location of microsatellites in wheat. *Mol Genet Genom* 246, 327-333.
- Sheidai M, Rashid S (2007) Cytogenetic study of some *Hordeum* L. species in Iran. *Acta Biol Szeged* 51(2), 107–112.
- Wei YM, Hou YC, Yan ZH, et al. (2005) Microsatellite DNA polymorphism divergence in Chinese wheat landraces highly resistant to *Fusarium* head blight. *J Appl Genet* 46, 3-9.
- Wright S (1951) The genetical structure of populations. *Ann Eur Genet* 15, 323-35.
- Yaghmaei F, Karimpour H (2008) Assessment of behavioural characteristics of *poophilus nebulosus* leth spittlebug on *Alhagi persarum* boiss & buhse camel thorn plant in Torbate Jam region, Khorasan Razavi province. *Agric Sci Technol* 22(2), 161 -170 (In Persian).

- Zahid NY, Abbasi NA, Hafiz IA et al. (2009). Genetic Diversity of Indigenus Fennel (*Foeniculum Vulgare* Mill.) Germplasm in Pakistan Assessed by RAPD Markers. *Pak J Bot* 41, 1759-1767.
- Zamani P, Akhondi M, Mohammadabadi MR (2015). Associations of Inter-Simple Sequence Repeat loci with predicted breeding values of body weight in Sheep. *Small Rumin Res* 132, 123–127.
- Zamani P, Akhondi M, Mohammadabadi MR, et al. (2011) Genetic variation of Mehraban sheep using two inter-simple sequence repeat (ISSR) markers. *Afr J Biotechnol* 10, 1812–1817.
- Zargari A (1996) *Medicinal Plants*. Vol 2. Tehran University Press, 980 p (In Persian).